

下久保ダムに於ける岩盤観測試験について

水資源開発公團・下久保ダム建設所

小山要之介

まえがき

下久保ダムは利根川右支川神流川の中流に位置し、洪水調節、かんがい、水道用木補給を含む多目的ダムで利根川総合開発の一環をなすものである。形式は直線重力式コンクリートダムとし、ダム高は129m、堤体積は約1,400,000m³である。施工主体は本年10月より建設省から水資源開発公團に受託があり、予定総工費180億円、打設開始は昭40年、竣工は昭43年の見込みである。

本文は概ね昭34年から36年を間に調査を行った内で基礎岩盤の観測又は試験に関するものと一応まとめておき、内容を大別すると

1. 試掘及び試錐による直接肉眼観測
2. 試掘横坑を利用した耐圧試験
3. 地表弾性波試験と横坑向弾性波試験
4. 岩盤剪断試験(施工中)
5. 岩盤改良のためのグラウト試験と効果確認の二、三の試み

となる。以下順を追ってその概要と結果の考察について述べる。

①試掘及び試錐による直接肉眼観測について

試掘、試錐の外に「トレントカット」も併用した。右岸アバットがダム高より低く、半島状に突出して、ダム軸はその半島状アバットの先端に近いため、補助ダムとして高さ30～50m長さ300m程度のものが右岸側に必要となる。そのため通常のダムオクタゴン部の外に半島部全般に亘つても調査を必要とする。試掘、試錐の位置は「グリッド」方式によって20m格子の各交点に於て実施した。勿論試錐は河床部に、トレントカットは右岸の尾根に施工し、その他斜面には平均20～30m深さの横坑を掘削した。横坑観測の分類は几化、亀裂、断層、破碎などの状況に応じて良好な岩盤から順にA・B・Cの3クラスとした。Aは極めて堅硬な岩、Bは若干節理や方理にそって几化の進んでいる堅硬な岩、Cは断層や地表に近い軟質になつてゐる岩である。

②試掘坑内の岩盤耐圧試験について

150t耐圧試験用オイルジャッキを使用して横坑内の選定した箇所に於て垂直方向に載荷して下盤の変形量を測定し、計算式を用いて静弾性係数を求めた。先づ試験方法の概要を述べる。
準備として載荷箇所の土上げを行う。之は浮石を除去して、不陸を1～2cm程度適正にして洗浄し、2：1モルタルで載荷板のためのベースを作り水準器で水平を保つ。載荷板は50cmと40cmのものを準備し、沈下量測定用としてはベースから板径50cmの3倍離れた所で(1.5m)測定し得る様に

- セットにて100分の1mm単位のダイアルゲージ4個を対象の位置に用意した。測定の要領は、
- 1)載荷速度は加圧5t/min, 減圧10t/minとする。
 - 2)載荷板は径50cmを主とし、この場合の最大荷重は100ton(50.9%までとする)。
 - 3)加圧の最大値での放置時間は5分とする。又加圧は1サイクル終了後5分間放置して次のサイクルに入る。
 - 4)ダイアルゲージの読み取りは毎分とする。
 - 5)加圧の繰返しは3サイクル以上とする。最終加圧の最大値では6時間放置し、岩盤のクリープ観測を行う。
 - 6)沈下量は対角線上にセットされたダイアルゲージの読みの平均を採る。この場合モルタルベース、載荷板等の変形は岩盤の変形に対して無視出来るものとする。
- 試験結果は一般に載荷の初期では沈下量は荷重強度に比して大きく急勾配があり、20%附近で変化して以後最大荷重まで大体直線的となる様である。

試験結果比較一覽

比較項目		下久保	二瀬	鳴子	奥只見
条件	ダム型式	重力ダム	アーチダム	アーチダム	重力ダム
	ダム高さと天端標高	129m(E.L.300m)	94m(E.L.545m)	94.5m(E.L.259.5m)	157m(E.L.750m)
	岩質	緑色變岩	珪質千枚岩	花崗岩肉綠岩	角礫質粘板岩 斑状岩
	載荷板直径	50cm	30cm	30cm	50cm
条件	最大荷重	100ton	30ton	60ton	100ton
	加圧(減圧)速度(t/min)	加圧5t 減圧10t	加圧2.5t 減圧5t	加圧2.5t 減圧5t	加圧5t 減圧10t
	E=F/(1-y^2) 2.0t/m ² (換算)	上 270.9 下 12.9	上 53.5 下 37.	上 200. 下 24.	上 R 下 11.8
	E:静弾性係数 F:板の全荷重(kN)	45,890 44,310	49,900 58,200	12,800 28.	31,000 24.7 28,000
結果	a:板の半径(m)	20.0 29.2	50.5 40.	176. 11,400	R 17,200 48.7 91,000
	W:沈下量(cm)	209.7 13.8	498. 74.	180. 32.	R 15,700 16.3 160,000
	y:板R,y:比	17,800 35.1	14,800 23.	8,700 18.	27,000 4.5 29,000
		224.2 22.9	490. 40.	216. 10.	R 11,100 14.2 468,000
		29,400 198.8 19.5	45,700 470 42,200	178. R 19.5	22,650

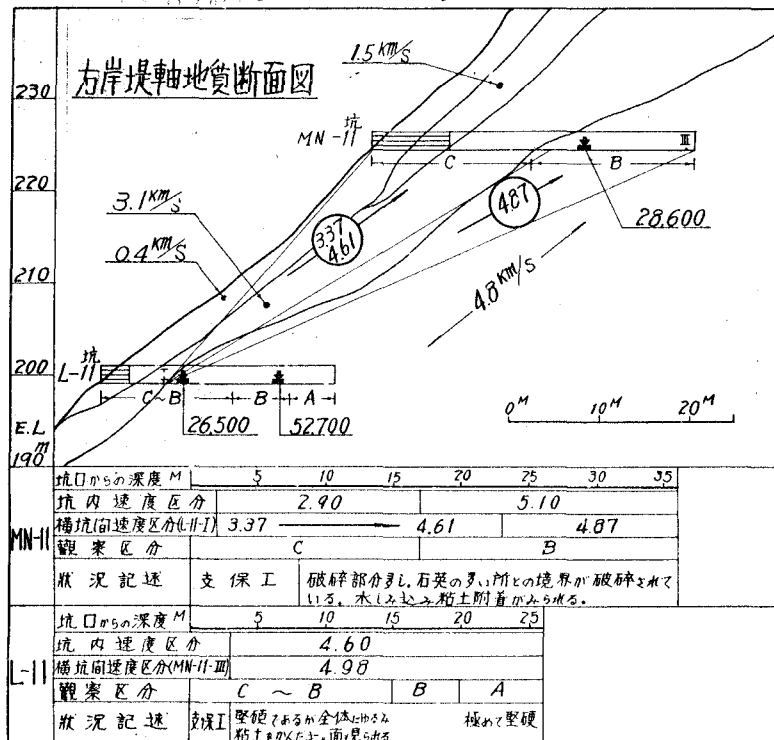
③ 地表弾性波試験と坑内弾性波試験

ダムサイトにおける速度分布を概略的に知る目的で、地表弾性波探査を行い、岩盤の局所的な速度値を平均的に知る為に横坑内での震探査を実施した。地表震探査結果得られる速度戸は、概略的にはあるけれども、その他の調査結果と共に速度戸の地質状態、局所的な差異等を考えるとより有効である。一方横坑内震探査では岩盤内の局所的な速度分布を比較的よく知ることが出来る。この場合波の伝播経路が2つ以上の速度値の異なる戸を通過する様な場合には、その境界を知ることは困難で、それ等の戸の平均的な値が得られる。しかし速度戸の境界は一概に明瞭ではなく漸移していると考えられるので、波の伝播経路が広い範囲でなければ、平均的な速度でもそれが自体充分意味をもつものと考えら

注。奥只見ダムの値は極めて高いのであるが、上三段は角礫質粘板岩、下三段が斑状岩であって岩自体の弾性係数が大きく、ダム基礎としては30,000~40,000 t/cm²程度が対象となる。

れる。

地表震探の結果概要は次の様になる。即ち基盤は4つの速度帯に分かれれる。オ1速度帯は(0.35~0.6km/s)被覆層に相当し、その厚さは数m程度で薄い。オ2~オ4速度帯は几化、亀裂、断層、破碎の影響によって分けられる。オ2速度帯は(1.0~1.7km/s)、被覆層の下に著しく几化の進んだ岩盤と考えられ、横坑観察による岩盤区分Cに相当するものと思える。B岩盤はほぼオ3速度帯に相当するものであろう。なお地質断面図と走時曲線及び解析図を比較すれば速度帯と観察区分とは必ずしも一致しない。これは震探であらわされる概略的な境界に対して観察による岩盤区分は局所的な岩盤状況をよくあらわし得るからである。



④ 岩盤剪断試験（試験中のため計画の紹介に止める）

岩盤の剪断抵抗を測定する方法として岩戸によるテストから考え方を一步進めて基盤に接続する岩塊の接続面に於ける一面剪断試験を行うこととした。

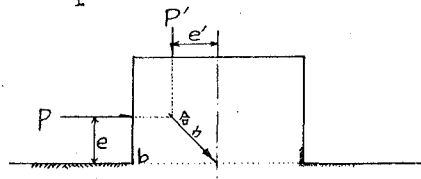
剪断抵抗の理論としてHenry式 $\tau = \frac{fV + \sigma A}{H}$ 及び $\tau = \sigma + fG$ がある。実験によって、 f, G 値を知ってそれを計算することが出来る。

一面剪断の場合水平力 P と底面(剪断面)までの距離 e との関係から $P = e \tau$ なる曲げモーメントが生ずる。そこで岩塊底面には底面積を A とする $\frac{P}{A}$ なる剪断応力の他に $\frac{P_e}{I}$ という曲げモーメントによる応力が生ずる。この為に底面の端より引張りとなりて剪断応力を破壊する以前に曲げによる引張り応力を破壊する結果になる。従って一面剪断の場合にはこの曲げ応力を消去する為に P_e と同じ大きさで反対方向の

左図は以上の諸調査を総合的に示した地質断面図で坑内の記号は耐圧試験の施工箇所を示し、数字は静弾性係数である。

又○記号は坑間震探の平均速度値を示す。L-11坑のⅢ奥からMN-11坑に向っての震探値を動弾性係数で示す。

$$\begin{aligned} & 3.37 \sim 4.61 \text{ km/s} = (29.3 \sim 54.9) \times 10^4 \text{ kg/m}^2 \\ & 4.87 \text{ km/s} = 61.2 \times 10^4 \text{ "} \\ & \text{一方 MN-11坑のⅢ奥から L-11坑に向っての値は } \\ & 4.98 \text{ km/s} = 64.0 \times 10^4 \text{ "} \end{aligned}$$

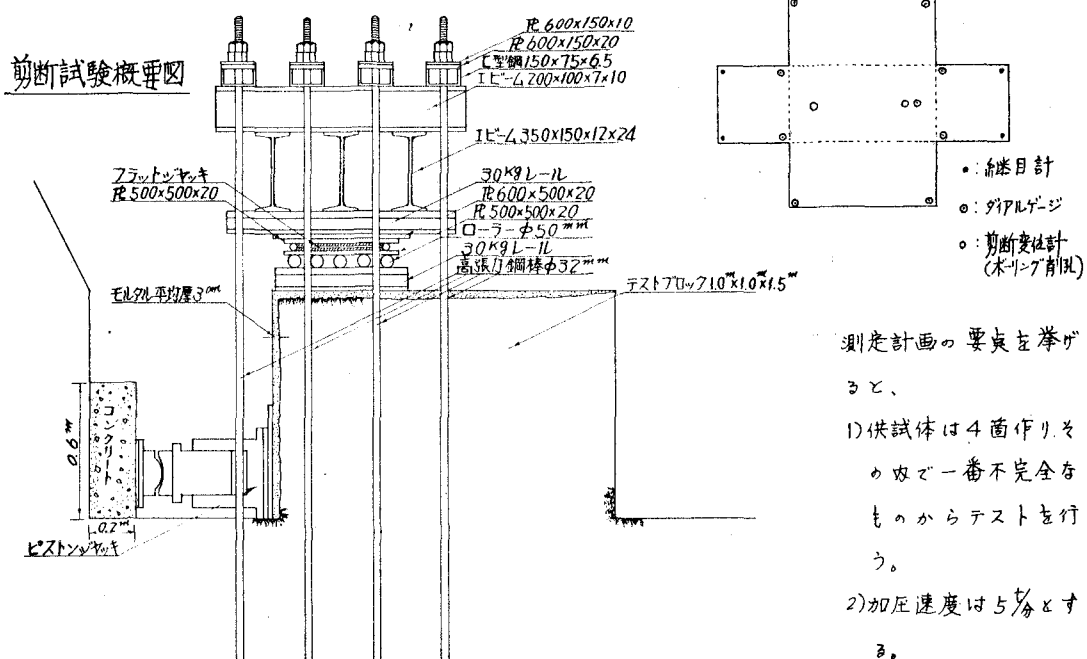


$P \cdot e'$ なるモーメントをあたえる必要がある。 P と P' の合力の作用点が底面の中央に来る場合には底面に働く応力は剪断応力 P_A と圧縮応力 P'_A だけとなりモーメントの影響を消去することが出来る。

実際のテストについては P 及び P' に見合う夫々の加圧ジャッキの大きさと能力、岩塊の製作手間と工期等の関係を考慮して諸元を次のように決めた。

- 1) テストブロックの製作位置は右岸補助ダムの岩盤面附近のうち、最も亀裂、縫目等の少いと思われる部分に定めた。
- 2) テストブロックの大きさは水平力を加える面 $1.0'' \times 1.0''$ 、垂直力を加える面 $1.0'' \times 1.5''$ の長方形岩塊とする。
- 3) 測定に使用する計器は「多点式自動平衡記録器」に総目計、剪断変位計を接続する外、ダイアルゲージを貼りつけて直読する。

岩塊展開図による測定箇所表示



3) 繰返し荷重は原則として加えない。

4) 荷重状況は4箇の供試体のうち夫々2箇づき同一状況として、 σ 及び f を知るものとする。

5) 壓力変動を明確に測定するため油圧ジャッキに対してはブルドン管と併用して記録装置に繋る測定器(圧力変換器と稱す)を使用する。

5 グラウト効果の測定の二~三の手段について

下久保ダムの調査段階に於けるグラウットテストを取まとめると次の通りとなる。テストの目的は申すまでもなく注入量と効果の概要を知ることに意味がある。

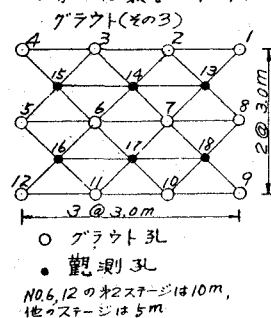
工事名	施行箇所	施工量	施工概要
地質調査グラウト (その1)	河床 ダム底趾部	ボーリング $\phi 243$ ・ $433.3m$ セメント注入量 86袋 (グラウト 12孔・ $163.0m$)	辺長3mの正六角形の各隅底と、中心底の計7箇所にグラウトを行い、その後に於ける透水量と E_R の変化を検べる。

工事名	施行箇所	施工量	施工概要
地質調査グラウト (その2) A	河床 右岸壁カーテン部	ボーリング・19孔・760.0m セメント注入量 126袋 (グラウト・13孔・485.0m)	辺長1.5m及び2mの正三角形を夫々3組づつ直線間に並べ、各隅央にグラウトを行って、その後後に於ける透水量を調べる。
地質調査グラウト (その2) B	右岸 ダム軸附近 EL. 230m~240m コンソリテーション部	ボーリング・16孔・328.0m セメント注入量 39袋 (グラウト・11孔・172.0m)	辺長3.0mの正三角形5組を斜面に添いに連続的に並べて、各隅央にグラウトを行ってその後後に於ける透水量とERの変化について検討する。
地質調査グラウト (その3)	左岸 ダム軸附近 EL. 250m~260m コンソリテーション部	ボーリング・18孔・459.5m セメント注入量 93袋 (グラウト・12孔・207.0m)	3行4列で夫々の間隔3mの格子を設け各格子内に15mと20m深さの孔を交互に削孔してグラウトを行へ、中間央に於ける透水量をテストを実施する。
地質調査グラウト (その4) 一施工中	左岸 断面処理 坑内(GH-II孔)	ボーリング・273孔・321.0m セメント注入量(設計) 560袋 (グラウト・26孔・280.0m)	列間隔1.5mの2列とし、各列の孔間隔1.0m左岸最大の潜伏戸に対する注入量のチェック。中央部でコアーボーリングを1孔施工す。

効果の測定方法と実験の概要並びに結果について以下に述べる。

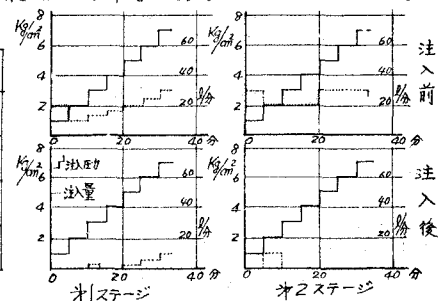
①グラウト孔の附近に観測孔を設けて注入の前後に於ける透水量の変化を検べる方法。

この方法は最も一般的に用いられる検査法であるが範囲が局部的であると云うべきである。



N0.16孔(透水試験孔)における状況表		
テスト状態	オーステージ	オズステージ
N0.5,6,12,11 各3孔のグラウト 施工前	圧力 kg/cm^2 7	10
施工前	透水量 $\text{kg}/\text{分}$ 21	27
施工後	圧力 kg/cm^2 0~5	0~7
施工後	透水量 $\text{kg}/\text{分}$ 0	10

ノルマスステージは10m,
他ノルマスステージは5m
ノルマスステージ何れも5m



(上図) N0.16孔の透水圧力と透水量図。

②グラウト施工部分を狭んで注入の前と後の弹性波探査による速度値の変化から効果を検べる方法。

この方法はりの場合は逆に巨視的であるが、最近相当各地で試みられて来た。この方法では速度値が 3.0 km/s 程度以上の場合には測定誤差を考えれば効果測定の定量的な判断が困難な場合がある。

グラウト施工前後に於ける速度値の比較表

グラウト(その2-B)			(観測横坑L-12)			(測定坑 L-12)			(測定坑 L-11)		
			爆破実 L-11-I			爆破実 L-11-II			爆破実 L-12-II		
グラウト前	グラウト後	差	増加率	グラウト前	グラウト後	差	増加率	グラウト前	グラウト後	差	増加率
1 2.91	3.04	+0.13	+4.5%	3.72	3.88	+0.16	+4.3%	1 4.65	4.96	+3.1	+6.7%
2 3.60	3.67	+0.07	+1.9	4.03	3.90	-0.13	-3.2	2 4.23	4.49	+0.26	+6.1
3 3.58	3.58	±0.00	±0.0	3.86	3.86	±0.00	±0.0	3 4.71	4.71	±0.00	±0.0
4 3.69	3.81	+0.12	+3.4	3.83	3.76	-0.07	-1.8	4 4.64	4.44	-0.20	-4.3
5 3.78	4.17	+0.29	+7.8	4.04	4.39	+0.35	+8.7	5 4.39	4.68	+0.29	+6.6
6 3.92	3.98	+0.06	+1.5	4.40	4.60	+0.20	+4.5	6 4.56	4.77	+0.21	+4.6
7 3.90	4.23	+0.33	+8.5	4.46	4.96	+0.50	+11.1	7 5.10	4.98	-0.12	-2.3
8 4.42	4.42	±0.00	±0.0	4.38	4.60	+0.22	+5.0	8 5.22	5.22	±0.00	±0.0
9 4.47	4.55	+0.07	+1.6	4.46	4.85	+0.39	+8.3	9 5.33	5.07	-0.26	-4.9
10 4.42	4.56	+0.14	+3.2	4.79	4.94	+0.15	+3.1	10 5.08	5.16	+0.08	+1.6
11 4.49	4.50	+0.06	+1.4	4.72	4.74	+0.02	+0.0	11 5.22	5.22	±0.00	±0.0
12 4.56	4.70	+0.14	+3.1	4.81	4.97	+0.16	+3.3	12 平均値	5.08	±0.06	±2.4
				平均値	4.12	3.2		平均値	5.07	±0.06	±2.4

上表の場合セメント注入量は概算 11 kg 、岩質は堅く、マッシュゲードある場合速度値の増加率を少々あらうことは充分考えらる。平均2.7と云う増加率は殆ど誤差。範囲内と云ふ3値でグラウト効果を証明する値としては不充分であらう。

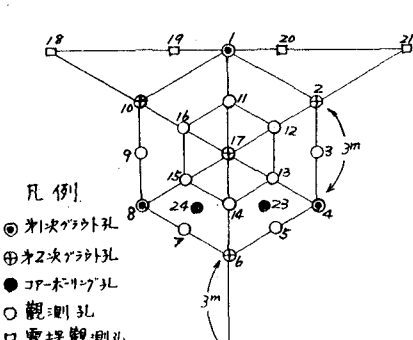
3) コアーボーリング法

透水テスト法と共に最も一般的な検定法とされている。実地に於けるミク方法をどの部分で実施するかが問題となる。コンソリデーショングラウトに於ける破碎帯への注入検定とか、断層処理グラウトの検定等には極めて有効と考える。(グラウトそのものは断層グラウトに対するテスト)

4) その他の場合(グラウトそのものの実験から)

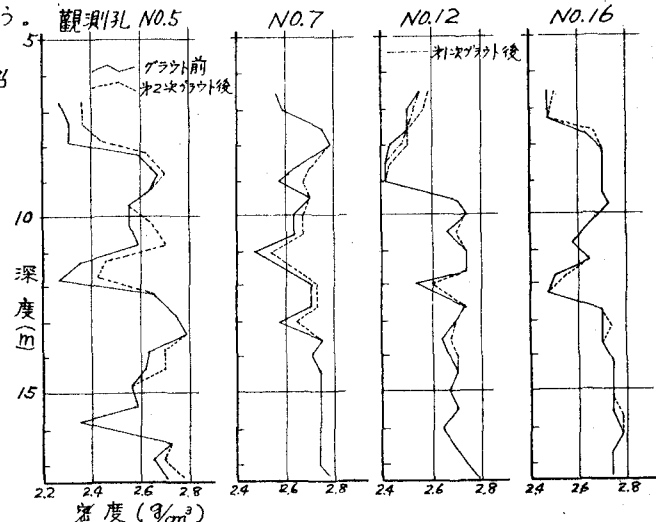
以上の外にアイソトープを用いてグラウトの前後に於ける密度の変化量を知りグラウト効果を測定する方法がある。この方法はかなり微少な変化を正確に検知でき、定量的に判定出来る可能性がある。将來有望な検定法と言えよう。問題は測定範囲が極めて狭いこと(有効半径は精々1.5cm程度)、局所的な検定に止まるため、グラウトの全般的な効果に対する未開発である。实用には2~3m程の測定半径が必要である。

観測孔 N.5



(左図) グラウトその1 ポーリング孔配置図

(右図) 全上 密度分布図



その他電気検査法によって岩盤の性状(浸透性の地層と不浸透性の地層との判定)を推定することができる。

あとがき

ダムサイト現場で行うダム築造の安全性に関する基礎岩盤の諸実験は多くの結果が実際工事に直結するだけに慎重を要するが、その精度については自ら限度があり、推定と経験と併せ部門も相当に多い。一つ一つの現場に於ける調査と実験の積み上げが如何に重要であるかは他言を要しない。この意味で下久保ダムに於ける若干の諸調査も何らかの資料となり得る事を信ずるものである。

参考文献:「下久保ダムに於けるグラウト効果に関する実験報告」土研、工藤辰吉

「下久保ダム実施計画調査報告書」34~35年、放

” 36年 放

“ グラウトテストについて” 「折報一下久保-37年創刊号」 小山